

Оглавление

1. Ответы на контрольные вопросы	2
1.1. Ответы на дополнительные вопросы	7
2. Результаты работы программ	8
2.1. Расчет порядка сходимости схем	8
3. Проверка закона сохранения энергии с течением времени. Консервативность системы	10
4. Визуализация заданий по вариантам	11

1. Ответы на контрольные вопросы

1. Дайте определения терминам: корректно поставленная задача, понятие аппроксимации дифференциальной задачи разностной схемой, порядок аппроксимации, однородная схема, консервативная схема, монотонная схема, устойчивая разностная схема (условно/абсолютно), сходимость.

Корректность по Адамару: Задача называется корректно поставленной, если ее решение существует, единственно, и непрерывно зависит от входных данных.

Разностная схема аппроксимирует исходную задачу, если $\|\psi_h\| \rightarrow 0$ и $\|\chi_h\| \rightarrow 0$ при $n \rightarrow 0$. Аппроксимация имеет порядок p , если $\|\psi_h\| = O(h^p)$ и $\|\chi_h\| = O(h^p)$ при $n \rightarrow 0$.

Разностная схема называется **однородной**, если её уравнение записано одинаковым образом и на одном шаблоне во всех узлах сетки без явного выделения особенностей.

Разностная схема называется **консервативной**, если для её решения выполняются законы сохранения, присущие исходной задаче.

Разностная схема называется **монотонной**, если в одномерном случае её решение сохраняет монотонность по пространственной переменной, при условии, что соответствующее свойство справедливо для исходной задачи, а в многомерном — удовлетворяет принципу максимума исходной задачи.

Разностная схема называется **устойчивой**, если её решение непрерывно зависит от входных данных. Устойчивость называется условной, если ее наличие зависит от соотношения шагов в сетке по разным направлениям, и безусловной в противном случае.

Разностное решение y сходится к решению исходной задачи, если $\|y - P_h u\| \rightarrow 0$, сходится с порядком p , если $\|y - P_h u\| = O(h^p)$ при $h \rightarrow 0$.

2. Какие из рассмотренных схем являются абсолютно устойчивыми? Какая из рассмотренных схем позволяет вести расчеты с более крупным шагом по времени?

Рассматриваются явная ($\sigma = 0$), неявная ($\sigma = 1$) и смешанная ($\sigma = 1/2$) схемы. Схема будет устойчивой при

$$\sigma \geq \frac{1}{2} - \frac{cph^2}{4\tau\bar{K}}, \quad \bar{K} = \max_{0 \leq x \leq L} K(x).$$

Следовательно:

– явная схема — условно устойчива. Её устойчивость обеспечивается лишь при условии, что τ/h^2 не превышает некоторого критического значения.

– неявная схема и смешанная схема являются абсолютно устойчивыми, что означает, т.е. для их стабильности не накладываются жёсткие ограничения на соотношение τ и h . Эти схемы позволяют использовать более крупный шаг по времени при сохранении устойчивости вычислений.

Приведем пример расчета, в котором нарушается условие устойчивости. Рассмотрим задача (3) – (5) и схему с $\sigma = 0$. Проверим условие устойчивости для случаев $h = 0.1$, $\tau = 0.1$ и $h = 0.1$, $\tau = 0.0015$

$$\left. \frac{1}{2} - \frac{cph^2}{4\tau\bar{K}} \right|_{\substack{h=0.1 \\ \tau=0.1}} \approx 0.494, \quad \left. \frac{1}{2} - \frac{cph^2}{4\tau\bar{K}} \right|_{\substack{h=0.1 \\ \tau=0.0015}} \approx 0.083$$

Как видно в обоих случаях нарушается условие устойчивости, однако во втором случае оно «ближе» к истине.

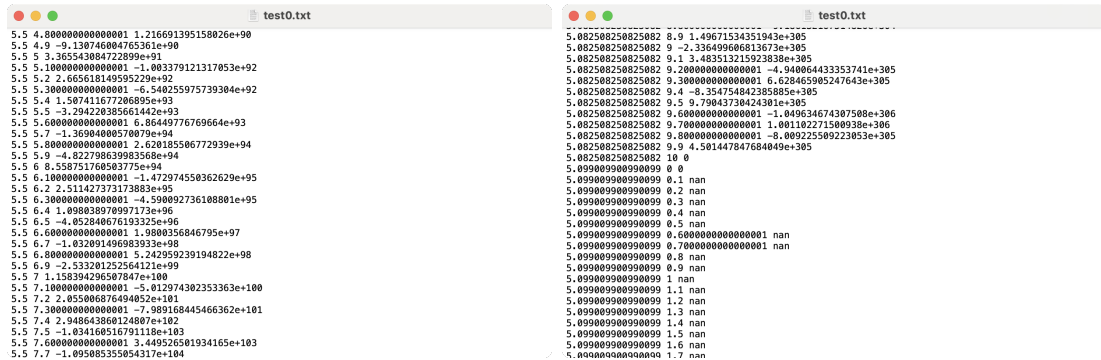


Рис. 1. Результаты расчетов

3. Будет ли смешанная схема иметь второй порядок аппроксимации при

$$a_i = \frac{2K(x_i)K(x_{i-1})}{K(x_i) + K(x_{i-1})}?$$

Запишем определение a_i

$$a_i = \frac{2K(x_i)K(x_{i-1})}{K(x_i) + K(x_{i-1})} = \left(\frac{1}{h} \int_{x_{i-1}}^{x_i} \frac{dx}{K(x)} \right)^{-1}$$

Для удобства обозначим за I

$$I = \int_{x_{i-1}}^{x_i} \frac{dx}{K(x)}$$

Выразим I :

$$I = \int_{x_{i-1}}^{x_i} \frac{dx}{K(x)} = h \frac{K(x_i) + K(x_{i-1})}{2K(x_i)K(x_{i-1})} = \frac{h}{2} \left(\frac{1}{K(x_{i-1})} + \frac{1}{K(x_i)} \right)$$

Это квадратурная форма трапеций, которая имеет второй порядок аппроксимации.

4. Какие методы (способы) построения разностной аппроксимации граничных условий с порядком точности $O(\tau + h^2)$, $O(\tau^2 + h^2)$ и $O(\tau^2 + h)$ вы знаете?

Граничные условия имеют вид

$$-K(u, 0) \frac{\partial u}{\partial x} \Big|_{(0,t)} = P(t), \quad K(u, L) \frac{\partial u}{\partial x} \Big|_{(L,t)} = P(t). \quad (1)$$

Схема с порядком точности $O(\tau^2 + h^2)$ может быть получена следующим образом.

Проинтегрируем исходное уравнение по ячейке, примыкающей к левой границе

$$\int_{t_j}^{t_{j+1}} \int_{x_0}^{x_{1/2}} u_t dx dt = k \int_{t_j}^{t_{j+1}} \int_{x_0}^{x_{1/2}} u_{xx} dx dt.$$

$$\begin{aligned} \int_{x_0}^{x_{1/2}} (u(x, t_{j+1}) - u(x, t_j)) dx &= \int_{t_j}^{t_{j+1}} (ku_x(x_{1/2}, t) - ku_x(x_0, t)) dt \\ &= \int_{t_j}^{t_{j+1}} (ku_x(x_{1/2}, t) + P(t)) dt. \end{aligned}$$

Аппроксимируя интегралы получим:

$$\begin{aligned} \int_{x_0}^{x_{1/2}} (u(x, t_{j+1}) - u(x, t_j)) dx &\approx \frac{h}{2} (\hat{y}_0 - y_0), \\ \int_{t_j}^{t_{j+1}} (ku_x(x_{1/2}, t) + P(t)) dt &\approx \tau \left(k \frac{\hat{y}_1 - \hat{y}_0}{h} + \hat{P} \right). \end{aligned}$$

После интегрирования получим разностную аппроксимацию граничного условия

$$\frac{h}{2} \frac{\hat{y}_0 - y_0}{\tau} = k \frac{\hat{y}_1 - \hat{y}_0}{h} + \hat{P}.$$

или после преобразований

$$-k\hat{y}_{x,0} + \frac{h}{2}y_{t,0} = \hat{P}.$$

Тогда вычисление погрешности аппроксимации на точном решении исходной задачи дает

$$\psi_{h,0} = -k\hat{u}_{xx}\frac{h}{2} + \frac{h}{2}\hat{u}_t + O(\tau h + h^2) = O(\tau^2 + h^2).$$

Схема с порядком точности $O(\tau + h^2)$ может быть получена путем введения фиктивной точки.

Введем фиктивную точку $x_{-1} = -h$, тогда значение функции в ней: $u_{-1}^j = u(-h, t_j)$.

Разложим u_1^j , u_2^j и u_{-1}^j в ряд Тейлора:

$$u_1^j = u(0, t_j) + hu_x(0, t_j) + \frac{h^2}{2}u_{xx}(0, t_j) + O(h^3).$$

$$u_2^j = u(0, t_j) + 2hu_x(0, t_j) + \frac{(2h)^2}{2}u_{xx}(0, t_j) + O(h^3).$$

$$u_{-1}^j = u(0, t_j) - hu_x(0, t_j) + \frac{h^2}{2}u_{xx}(0, t_j) + O(h^3).$$

Аппроксимируем $u_x(0, t_j)$ и для получения схемы требуемого порядка исключим $u(0, t_j)$ и $u_{xx}(0, t_j)$:

$$au_1^j + bu_2^j + cu_{-1}^j = (a+b+c)u(0, t_j) + h(a+2b-c)u_x(0, t_j) + \frac{h^2}{2}(a+4b+c)u_{xx}(0, t_j) + O(h^3).$$

Потребуем

$$\begin{cases} a + b + c = 0, \\ a + 4b + c = 0, \\ a + 2b - c = \frac{1}{h}. \end{cases} \implies \begin{cases} a = -\frac{3}{2h}, \\ b = \frac{2}{h}, \\ c = -\frac{1}{2h}. \end{cases}$$

Тогда

$$u_x(0, t_j) \approx \frac{-3u_0^j + 4u_1^j - u_2^j}{2h} + O(h^2).$$

Подставляя аппроксимацию $u_x(0, t_j)$ в граничное условие, имеем:

$$-K(u_0^j, 0) \cdot \frac{-3u_0^j + 4u_1^j - u_2^j}{2h} = P(t_j).$$

Дискретизацию по времени будет проводить с использованием явной схемы Эйлера с точностью $O(\tau)$. Таким образом получим схему с порядком $O(h^2 + \tau)$.

Схема с порядком точности $O(\tau^2 + h)$. Рассмотрим схему с порядком $O(\tau^2 + h^2)$

$$0 = \frac{2}{h} \left(\sigma \left(P_0(t_{j+1}) + a_1 \frac{y_1 - y_0}{h} \right) + (1 - \sigma) \left(P_0(t_j) + a_1 \frac{y_1 - y_0}{h} \right) \right),$$

$$0 = \frac{2}{h} \left(\sigma \left(P_L(t_{j+1}) + a_N \frac{y_N - y_{N-1}}{h} \right) + (1 - \sigma) \left(P_L(t_j) + a_N \frac{y_N - y_{N-1}}{h} \right) \right),$$

где $a_i = \left(\frac{1}{h} \int_{x_{i-1}}^{x_i} \frac{dx}{K(x)} \right)^{-1}$.

Пусть $\sigma = 0.5$. Будем аппроксимировать a_i с первым порядком точности, например, с помощью квадратурной формулы левых

$$\int_{x_{i-1}}^{x_i} \frac{dx}{K(x)} \approx \frac{h}{K(x_{i-1})} \implies a_i \approx \left(\frac{1}{h} \cdot \frac{h}{K(x_{i-1})} \right)^{-1} = K(x_{i-1})$$

или правых прямоугольников

$$\int_{x_{i-1}}^{x_i} \frac{dx}{K(x)} \approx \frac{h}{K(x_i)} \implies a_i \approx \left(\frac{1}{h} \cdot \frac{h}{K(x_i)} \right)^{-1} = K(x_i)$$

Тогда схема будет иметь порядок $O(\tau^2 + h)$, из-за «плохой» аппроксимации a_i .

5. При каких h, τ и σ смешанная схема монотонна?

Признак монотонности:

Явная двухслойная схема $\hat{y}_n = \sum_l \beta_l y_{n+1}$ монотонная тогда, когда все $\beta_l \geq 0$.

6. Какие ограничения на h, τ и σ накладывают условия устойчивости прогонки?

Имеем разностную схему:

$$c\rho \frac{y_i^{j+1} - y_i^j}{\tau} = \frac{1}{h} \left(\sigma(w_{i+1/2}^{j+1} - w_{i-1/2}^{j+1}) + (1 - \sigma)(w_{i+1/2}^j - w_{i-1/2}^j) \right),$$

где $w_{i-1/2}^j = a_i y_{x,i}^j$, $w_{i+1/2}^j = a_i y_{x,i}^j$.

Данную схему можно записать в виде системы

$$A_i y_{i-1}^{j+1} - B_i y_i^{j+1} + C_i y_{i+1}^{j+1} = -F_i, \quad i = 1, 2, \dots, N-1,$$

с коэффициентами

$$A_i = \frac{\sigma}{h} a_i, \quad B_i = \frac{\sigma}{h} a_i + \frac{\sigma}{h} a_{i+1} + c\rho \frac{h}{\tau} \quad C_i = \frac{\sigma}{h} a_{i+1},$$

и правой частью

$$F_i = c\rho \frac{h}{\tau} y_i^j + (1 - \sigma)(w_{i+1/2}^j - w_{i-1/2}^j).$$

Прогонка корректна и устойчива, если в трехдиагональной матрице выполнено условие диагонального преобладания

$$|B_i| \geq |A_i| + |C_i|,$$

и хотя бы для одного i выполнено строгое равенство. Таким образом

$$\left| \frac{\sigma}{h} a_i + \frac{\sigma}{h} a_{i+1} + c\rho \frac{h}{\tau} \right| \geq \left| \frac{\sigma}{h} a_i \right| + \left| \frac{\sigma}{h} a_{i+1} \right|.$$

Таким образом прогонка корректна и устойчива при $c\rho \frac{h}{\tau} \geq 0$.

7. В случае $K = K(u)$ чему равно количество внутренних итераций, если итерационный процесс вести до сходимости, а не обрывать после нескольких первых итераций?

8. Для случая $K = K(u)$ предложите способы организации внутреннего итерационного процесса или алгоритмы, заменяющие его.

1.1. Ответы на дополнительные вопросы

Выпишите фундаментальное решение уравнения теплопроводности на прямой, объясните его смысл. Докажите на паре теорему о связи аппроксимации, устойчивости и сходимости. Приведите пример неконсервативной разностной схемы для уравнения теплопроводности.

Фундаментальное решение уравнения теплопроводности:

$$\begin{cases} u_t = a^2 u_{xx}, & x \in \mathbf{R}, \quad t > 0 \\ u(x, 0) = \varphi(x), & x \in \mathbf{R} \end{cases} \quad (2)$$

$$u(x, t) = \int_{-\infty}^{+\infty} G(x, \xi, t) \varphi(\xi) d\xi$$

Теорема: Если решение задачи $Au = f$ в G и $Ru = \mu$ на ∂G существует, разностная схема $A_h u = \varphi$ в G_h и $R_h u = \nu$ на ∂G корректна и аппроксимирует задачу для u , то разностное решение сходится к точному.

Какие еще квадратурные формулы второго порядка точности вы знаете? Приведите соответствующие формулы для вычисления коэффициентов a_i .

Квадратурная формула центральных прямоугольников:

$$I_{h,i} = f(x_{i-\frac{1}{2}})h, \quad a_i = K(x_{i-\frac{1}{2}})$$

Сформулируйте принцип максимума. Объясните разницу между немонотонностью и неустойчивостью численного решения. Получите немонотонное распределение в результате расчета по симметричной схеме.

Принцип максимума: Пусть G_h и ω , где $\bar{\omega} \subset G_h$ связны, для h в ω выполнено условие положительности коэффициентов. Тогда, если y непостоянна на $\bar{\omega}$ и $Ly \leq 0 (Ly \geq 0) \forall x \in \omega$, то y не может принимать своего наибольшего (положительного) (наименьшего отрицательного) значения на ω среди всех ее значений на $\bar{\omega}$ (т.е. принимает его на $\bar{\omega} \setminus \omega$).

2. Результаты работы программ

2.1. Расчет порядка сходимости схем

Рассмотрим уравнение теплопроводности

$$u_t = (K(x)u_x)_x, \quad x \in (0, L), \quad t > 0, \quad (3)$$

где коэффициент теплопроводности определяется как:

$$K(x) = \left(1 + \frac{x}{L}\right)^2.$$

Распределение температуры в начале и на границе зададим условиями

$$u(0, t) = 0, \quad u(L, t) = 0, \quad t > 0. \quad (4)$$

$$u(x, 0) = \left(1 + \frac{x}{L}\right)^{-1/2} \sin\left(\frac{\pi}{\ln 2} \ln\left(1 + \frac{x}{L}\right)\right). \quad (5)$$

Аналитическое решение задачи имеет вид

$$u(x, t) = \left(1 + \frac{x}{L}\right)^{-1/2} \sin\left(\frac{\pi}{\ln 2} \ln\left(1 + \frac{x}{L}\right)\right) \exp\left(-\frac{t}{L^2} \left(\left(\frac{\pi}{\ln 2}\right)^2 + \frac{1}{4}\right)\right).$$

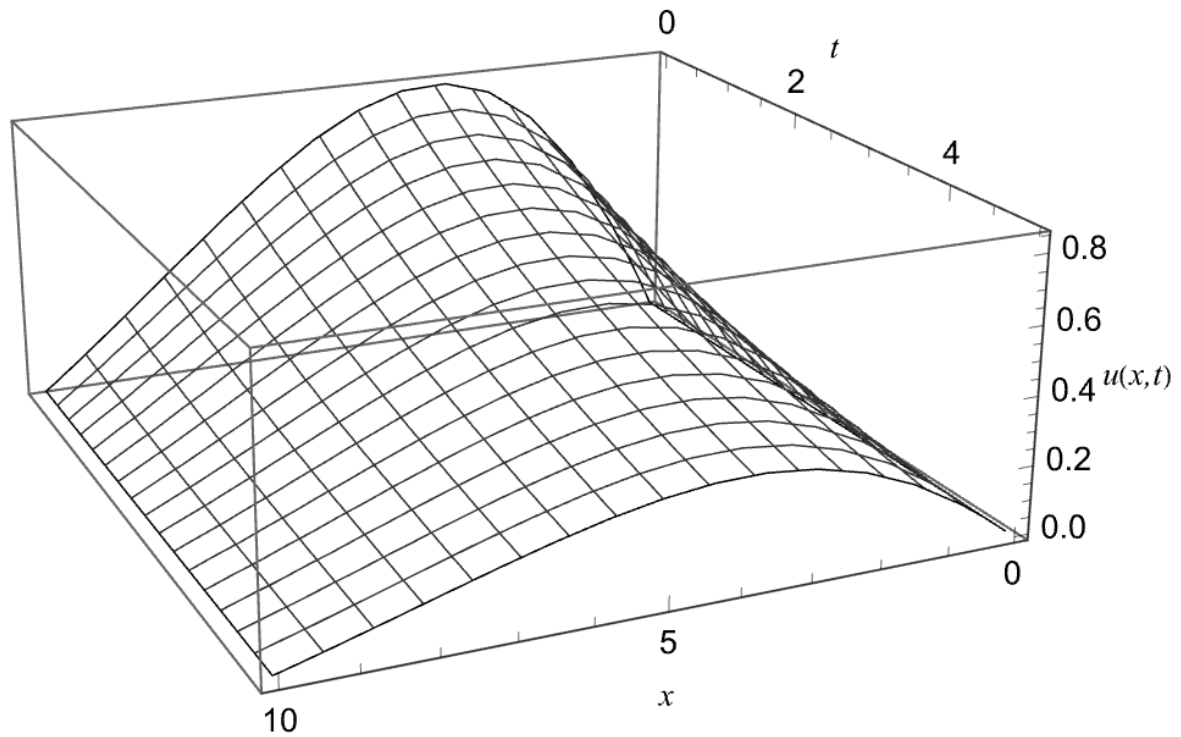


Рис. 2. График решения

Таблица 1. Демонстрация работы различных схем для задачи (3) – (5) при $h = 0.1$, $\tau = 0.001$, $q = 0.5$

Шаг	$\sigma = 0$		$\sigma = 1$	
	err	p	err	p
h, τ	$1.278 \cdot 10^{-5}$	—	$6.319 \cdot 10^{-5}$	—
$qh, q^2\tau$	$3.197 \cdot 10^{-6}$	1.99917	$1.580 \cdot 10^{-5}$	1.99979
$q^2h, q^4\tau$	$7.989 \cdot 10^{-7}$	2.00101	$3.949 \cdot 10^{-5}$	2.0004

Таблица 2. Демонстрация работы различных схем для задачи (3) – (5) при $h = 0.1$, $\tau = 0.001$, $q = 0.5$

Шаг	$\sigma = 0.5$	
	err	p
h, τ	$4.241 \cdot 10^{-5}$	—
$qh, q\tau$	$1.060 \cdot 10^{-5}$	1.99979
$q^2h, q^2\tau$	$2.651 \cdot 10^{-6}$	1.99998

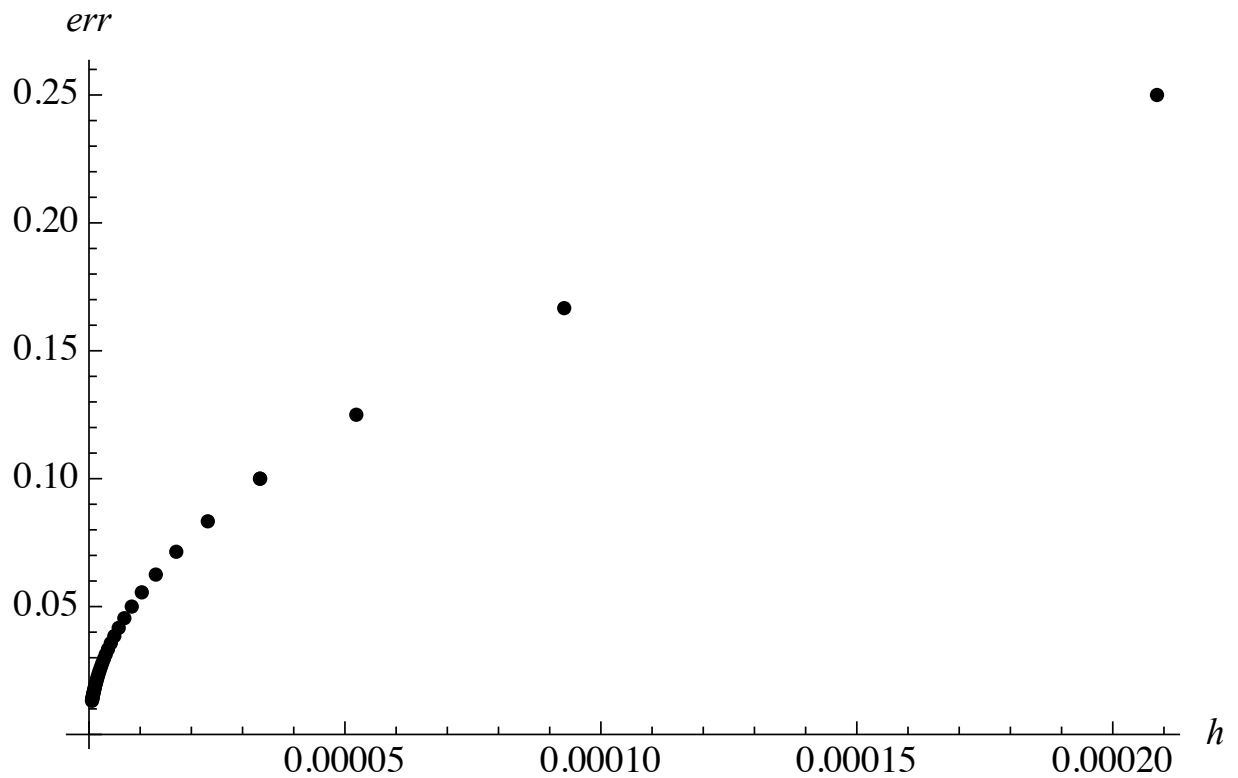


Рис. 3. График зависимости погрешности найденного решения от шага h при постоянном $\tau = 0.001$ и $\sigma = 0.5$

3. Проверка закона сохранения энергии с течением времени. Консервативность системы

Таблица 3. Разность интеграла от температуры в начальный и текущий момент времени для стержней разной длины

L \ t					
	0.25	0.5	0.75	1.00	1.25
1	$1.6098 \cdot 10^{-15}$	$1.6098 \cdot 10^{-15}$	$1.6098 \cdot 10^{-15}$	$1.6098 \cdot 10^{-15}$	$1.6098 \cdot 10^{-15}$
10	$5.8975 \cdot 10^{-13}$	$1.3145 \cdot 10^{-12}$	$2.0748 \cdot 10^{-12}$	$2.7924 \cdot 10^{-12}$	$3.4817 \cdot 10^{-12}$
100	$3.4250 \cdot 10^{-11}$	$6.4960 \cdot 10^{-11}$	$9.7450 \cdot 10^{-11}$	$1.2915 \cdot 10^{-10}$	$1.6121 \cdot 10^{-10}$

4. Визуализация заданий по вариантам

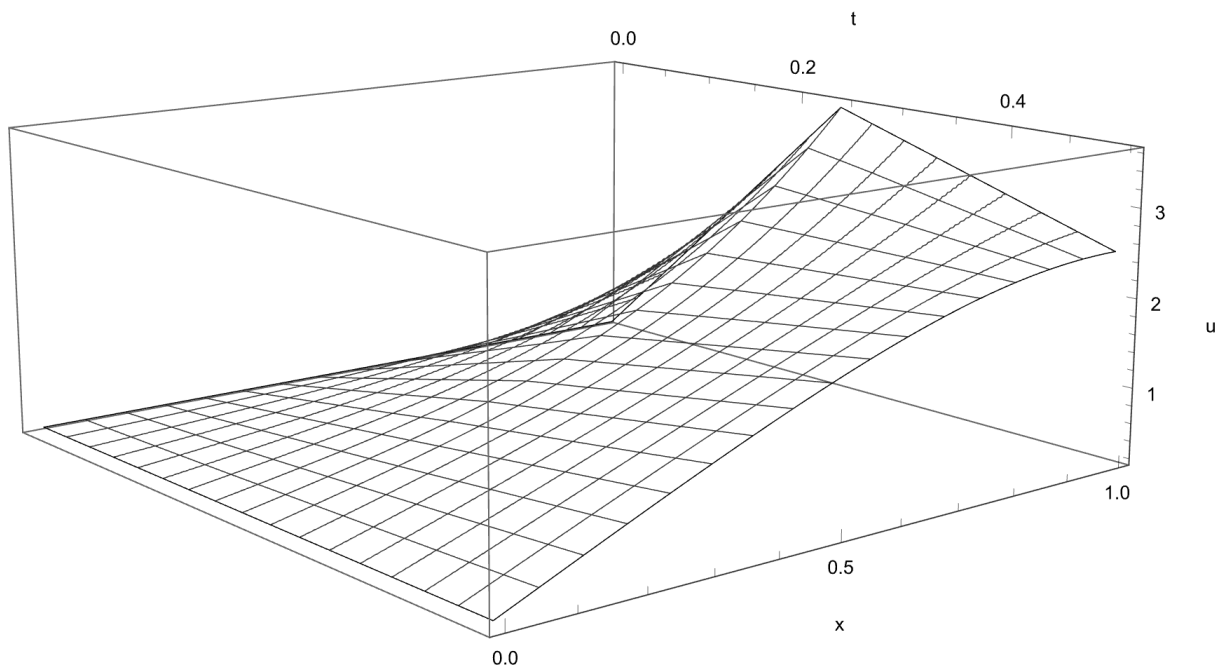


Рис. 4. График решения задания (Вариант 8)

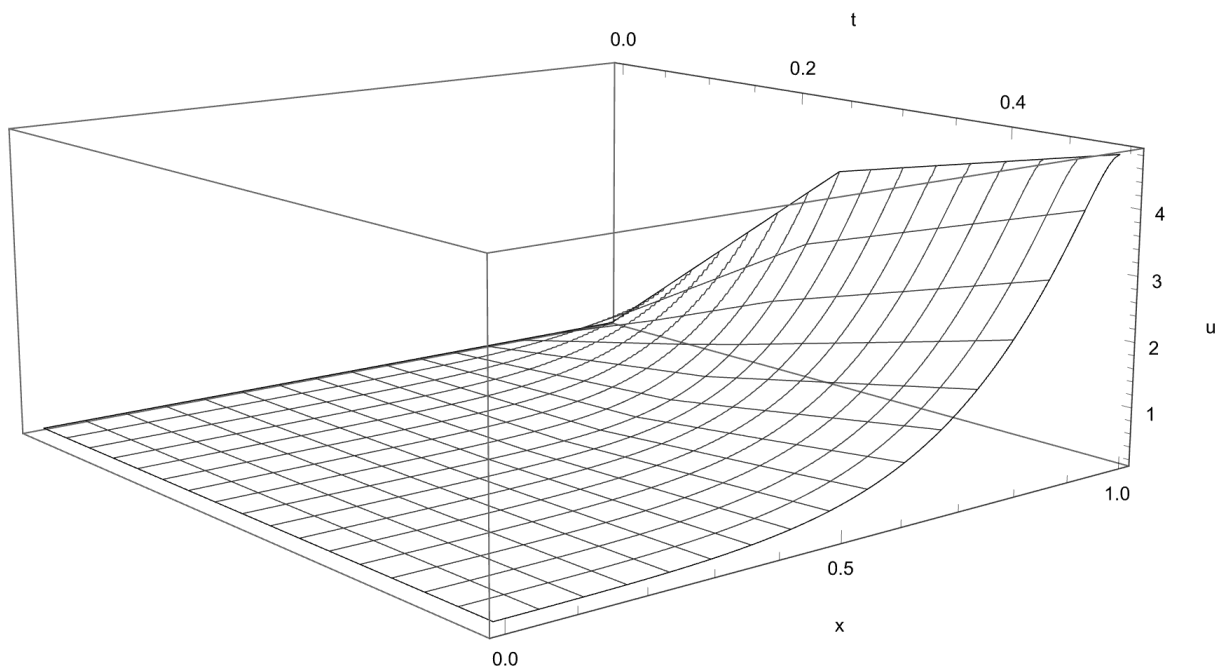


Рис. 5. График решения задания (Вариант 21)